

建設省土木研究所
正員 浅沼秀跡
" " 塩井幸武
" " 山本洋司

1. まえがき

浸透流による地盤の破壊現象は、地下水位以下の掘削工事においてしばしば経験されるが、この現象は地盤の不均一性や地質条件の細かい変化に大きく支配され、一般に理論的取扱いは困難であると言われており、従来から経験的な判断を加えて対策を行ってこられるのが実状である。従来の取扱いは専ら砂質地盤を対象としており、シルト質や粘土質の場合の考え方が明らかでなく、玉石層から粘土層の場合までを通じた性状の解明が必要であるとともに、対策工法の検討も必要とされてくる。そこで、模型実験によりクイックサンド現象の一般的性状の把握とともに、対策工法の効果の検討を行い、さらにこの現象に対する合理的な安全率の算定法について考察を加えた。

2. 実験方法

(1) 実験水槽：図-1に示すよどみ水槽を用いた。

(2) 地盤材料：地盤材料として用いた砂は表-1に示す諸元の高萩砂（珪砂）で、複層地盤を形成するため、透水係数が約10倍異なる2種の砂（A砂、C砂）を採用した。

(3) 実験方法：地盤は予め水を張り、水槽に砂を落すさせて形成し、下流側水位はオーバーフローによる固定とし、上流側水位を変化させる方法をとった。流量はストップウォッチとメスシリンダーにより、また不テンショナルは水槽側面に設置したマノメーターの水位から測定した。流線はFluorescent Sodium Drainineを用いて代表的なケースの流線写真を撮影した。

クイックサンド状態になつた瞬間に何が定義されるかは議論のある所であるが、今回の実験においては下流側矢板に接する地盤表面の盛り上がりの開始とも、クイックサンド状態とした。

3. 根入れ長の効果

矢板の根入れ長の効果を調べるために、根入れ長dを変化させ（矢板が固定されてこないため、地盤厚Dを変化させた）。クイックサンドを起す瞬間の限界水頭差 ΔH_{cr} を計測した。結果は図-2に示すようにdと ΔH_{cr} の間に線型関係が成立するものと思われる。流線が直角で表わされた場合、浸透水力と考慮に入れた砂の有効重量（ $\gamma_{eff} = \gamma_{sub} - \gamma_w \frac{dy}{dy}$ ）が直角な領域で $\pi d \gamma_{sub} / \Delta H_{cr}$ をバラメータとして表したものと図-3に示すが、この領域が下流側地盤表面に達した時をクイックサンドと定義すれば

$$\Delta H_{cr} = \frac{\gamma_{sub}}{\gamma_w} \cdot \pi \cdot d \quad \text{となり。実験結果をほぼ支持してくる。}$$

4. ブランケットの効果

上流側矢板背面に止水膜（ブランケット）を敷き、浸透路長を長くすることによってクイックサンドを抑える背面ブランケット工法の効果を調べるために、根入れ長を一定（d=20cm）にしてブランケット長Bを変化させ、クイックサンドを起す限界水頭差 ΔH_{cr} を測定した。結果を図-4に示すが、Bと ΔH_{cr} の間に相

	高萩砂	
A	C	
比重 G_s	2.70	2.60
最大粒径 D_{max}	1.00	0.84
最小粒径 D_{min}	0.05	0.05
60%粒径 D_{60}	0.60	0.59
10%粒径 D_{10}	0.20	0.12
均等粒径 D_1	2.00	2.80
粒度分布範囲	1.57	1.51
間隙比 e	0.72	0.73
透水係数 K	4.8×10^{-5}	5.0×10^{-5}

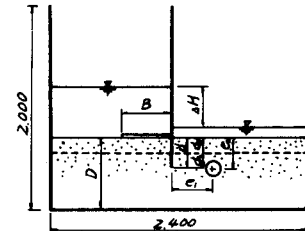


図-1 実験水槽

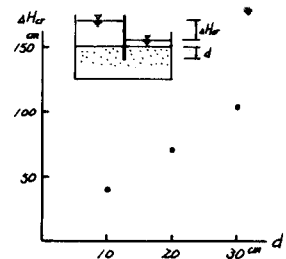


図-2 根入れ長の効果

れ長と同様 線型関係が成立するが、その効果は挿入れ長には及ばないようである。

5. リリーフウェルの効果

下流側の流線の方向を変えて浸透水力の上向成分を小さくする目的で設置するリリーフウェルの効果を調べるために、矢板挿入れ長を一定($d = 20\text{cm}$)にして、リリーフウェルから自然排水せざるから計算を行った。水頭差の小さい時はリリーフウェルからのみ排水されるが、水頭差が大きくなる(約 50cm)と越流が始め、流線がリリーフウェルの無い場合の形状に近くなると限界水頭差に達し破壊する。実験はウェルの位置を2箇所に変化させて行い、いずれの場合も ΔH_{cr} は約 110cm であった。

6. 2層系地盤の影響

実際の地盤が単層地盤であることは稀で、水平に堆積した複層地盤から成ることが多いが過去の研究で複層地盤と坡、正例は少ない。ここで透水係数の異なる2種の砂を用いて二層地盤を形成し、層の状態が限界水頭差に及ぼす影響を調べた。実験は矢板挿入れ長を固定(20cm)し、二層の層序と層厚を変化させて行った。結果を図-5に示すが、透水係数の小さなC砂を上層にす場合、上層の層厚が厚いほど限界水頭差が小さくなる。これは上層の透水係数が小さい場合、等ボテンシャル線が上層部で水平(直角)に近くなり、その直角も大きいほど水頭勾配が大きくなり、クイックゲンドを起しやすくなるためである。また二層の境界が地盤表面下 20cm の場合のボテンシャル分布は上層がA砂であるB砂であるほぼ同様の形状を示し、境界が深い場合は单層構造の場合の状況に近くなるものと考えられる。

7. クイックゲンドに対する安全率の簡易計算法

実際の矢板の設計にあたっては簡単な手段である程度の精度を期待でき、かつ多様な境界条件に適用可能な計算手法の開発を望まれてあり、今次に定義する安全率を提案する。

$$F_s = \frac{W_{sub} + (U_c - U_k) \tan \phi + CL}{U}$$

ここで F_s : クイックゲンドに対する安全率

W_{sub} : 前壌砂柱の水中重量

U_c , U_k : 前壌砂柱の左右面に作用する過剰間隙水圧

ϕ : 刃の内斜摩擦角

CL : 前壌面の粘着力によるせん断強さ

U : 前壌砂柱の底面に作用する過剰間隙水圧

過剰間隙水圧分布を直線で仮定し、各実験ケース毎に限界水頭差に達した時の安全率を上式で計算した結果と、現行式(Terzaghi, 首都公団)での計算値と比較して表-2に示す。提案式による結果はほぼ1に近くなるており、砂のせん断強さを考慮した提案式の妥当性を示しておこうと言えよう。

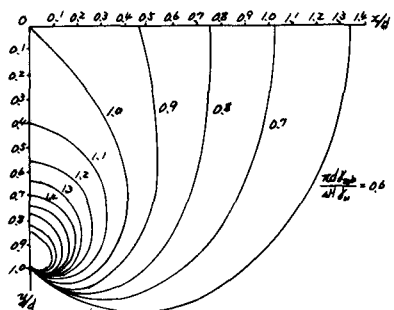


図-3 等水頭勾配線図

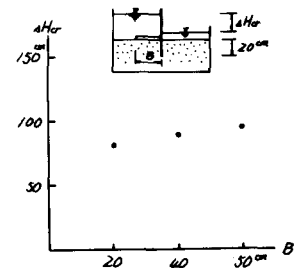


図-4 ブランケット長の効果

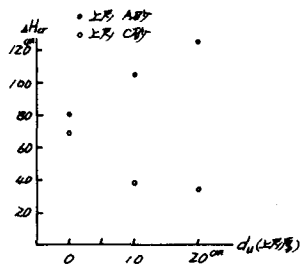
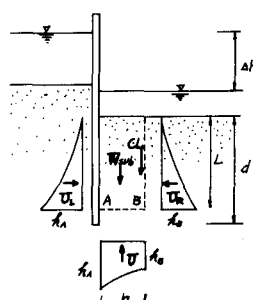


図-5 二層系地盤の影響



実験 ケース	安全率の比較			
	Terzaghi 式	首都公団 式	提案式	
一 层 系 地 盤	A-1	0.683	0.570	0.956
	A-2	0.769	0.576	1.033
二 層 系 地 盤	A-3	0.798	0.619	1.059
	C-1	0.633	0.507	0.967
三 層 系 地 盤	AC-1	0.806	-	0.820
	T9	0.520	-	0.820
四 層 系 地 盤	CA-1	0.91375	-	0.902
	T9	0.701	-	0.902
五 層 系 地 盤	A-4	0.652	-	1.000
	A-5	0.624	-	1.038
	A-6	0.572	-	1.129

表-2 安全率の比較